DOI: 10.33266/2782-6430-2024-1-36-43

А.С. Умников¹, М.Н. Величко¹, С.В. Терещук², Д.А. Гречухин² СПОСОБ ЛЕЧЕНИЯ ЛОЖНЫХ СУСТАВОВ ЛАДЬЕВИДНОЙ КОСТИ ПУТЕМ ПРИМЕНЕНИЯ НАДКОСТНИЧНЫХ ЛОСКУТОВ НА МЕТАКАРПАЛЬНЫХ АРТЕРИЯХ

¹ФГБУ ГНЦ ФМБЦ им. А.И. Бурназяна ФМБА России, Москва ²Федеральное государственное бюджетное учреждение «Главный военный клинический госпиталь им. академика Н.Н.Бурденко» Министерства обороны Российской Федерации, Москва

Контактное лицо: Умников Алексей Сергеевич: dr.umnikov@gmail.com

Резюме

<u>Цель исследования</u>: усовершенствование метода хирургического лечения больных с ложными суставами ладьевидной кости.

Материал и методы: проанализированы результаты лечения 30 больных, оперированных по поводу ложных суставов ладьевидной кости кисти, возникших после консервативного лечения (не лечения) переломов, хирургического лечения за 2018-2021гг.

Пациенты были разделены на две группы: 15 пациентов с ложными суставами лальевидной кости, которым в качестве хирургического пособия выполнена свободная костная аутопластика, фиксация костных фрагментов безголовчатым винтом – контрольная группа; 15 пациентов с ложными суставами ладьевидной кости, которым в качестве хирургического лечения выполняли свободную костную аутопластику, дополненную несвободной пластикой надкостничным лоскутом на метакарпальной артерии – основная (экспериментальная) группа больных. Произведена оценка возможности применения надкостничных лоскутов, выделенных с первой и второй пястных костей.

Для оценки результатов лечения использовали рентгенологический контроль консолидации ладьевидной кости на сроках 8, 12 недель и через 6 месяцев после операции; компьютерную томографию лучезапястных суставов выполняли на сроках 4 месяца после операции с целью оценки степени перестройки костных аутотрансплантатов.

Оценку функции кисти до и после операции производили по опроснику неспособностей верхних конечностей DASH и визуальной аналоговой шкале боли (BAIII).

Результаты исследования: в экспериментальной группе консолидация ладьевидной кости достигнута у 13 пациентов из 15 (86,6%) в сравнении с контрольной группой (10 из 15 больных – 66,7%).

По степени выраженности болевого синдрома и конечного функционального результата получены сопоставимые показатели в обеих группах.

<u>Обсуждение</u>: учитывая малую выборку больных, участвовавших в проведенной работе, исследование имеет умеренную достоверность. Однако, полученные данные позволяют надеяться на эффективность предлагаемого метода хирургического лечения, применяемого у пациентов основной группы исследования.

Ключевые слова: костно-пластическая операция, ладьевидная кость, ложный сустав, надкостничный лоскут

Для цитирования: Умников А.С., Величко М.Н., Терещук С.В., Гречухин Д.А. Способ лечения ложных суставов ладьевидной кости путем применения надкостничных лоскутов на метакарпальных артериях // Клинический вестник ФМБЦ им. А.И. Бурназяна 2024. \mathbb{N} 1. С. 36–43. DOI: 10.33266/2782-6430-2024-1-36-43

DOI: 10.33266/2782-6430-2024-1-36-43

A.S. Umnikov¹, M.N Velichko¹, S.V. Tereshchuk², D.A. Grechukhin²

A Method of Treating Scaphoid Nonunion by Applying Periosteal Flaps on Metacarpal Arteries

¹International Office, State Research Center - Burnasyan Federal Medical Biophysical Center of Federal Medical Biological Agency, Moscow, Russia ²Federal State Budgetary Institution «Main Military Clinical Hospital named after academician N.N. Burdenko» of the Ministry of defense of the Russian Federation», Moscow, Russia

Contact person: Umnikov Aleksey Sergeevich: dr.umnikov@gmail.com

Abstract

The purpose of the study: to improve the method of surgical treatment of patients with scaphoid nonunion.

<u>Material and methods</u>: the results of treatment of 30 patients operated on for scaphoid nonunion of the hand, which arose after conservative treatment (not treatment) of fractures, surgical treatment for 2018-2021 were analyzed.

The patients were divided into two groups: 15 patients with scaphoid nonunion who underwent free bone autoplasty as a surgical aid, fixation of bone fragments with a headless screw – a control group; 15 patients with fscaphoid nonunion, who underwent free bone autoplasty as surgical treatment, supplemented with non-free plastic surgery with a periosteal flap on the metacarpal artery – the main (experimental) group of patients. The possibility of using periosteal flaps isolated from the first and second metacarpal bones was evaluated.

To assess the results of treatment, X-ray monitoring of scaphoid nonunion consolidation was used at 8, 12 weeks and 6 months after surgery; computed tomography of wrist joints was performed at 4 months after surgery in order to assess the degree of bone graft reconstruction.

Hand function was assessed before and after surgery using the DASH Upper Limb Disability Questionnaire and the Visual Analog Pain Scale (VAS).

<u>Results of the study</u>: in the experimental group, scaphoid nonunion consolidation was achieved in 13 out of 15 patients (86.6%) compared with the control group (10 out of 15 patients – 66.7%).

According to the severity of the pain syndrome and the final functional result, comparable indicators were obtained in both groups.

<u>Discussion</u>: given the small sample of patients who participated in the work, the study has moderate reliability. However, the data obtained allow us to hope for the effectiveness of the proposed method of surgical treatment used in patients of the main study group.

Keywords: bone plastic surgerynonunion, periosteal flap, scaphoid bone

For citation: Umnikov AS, Velichko MN, Tereshchuk SV, Grechukhin DA. A Method of Treating Scaphoid Nonunion by Applying Periosteal Flaps on Metacarpal Arteries. A.I. Burnasyan Federal Medical Biophysical Center Clinical Bulletin. 2024.1:36-43. (In Russian) DOI: 10.33266/2782-6430-2024-1-36-43

Веление

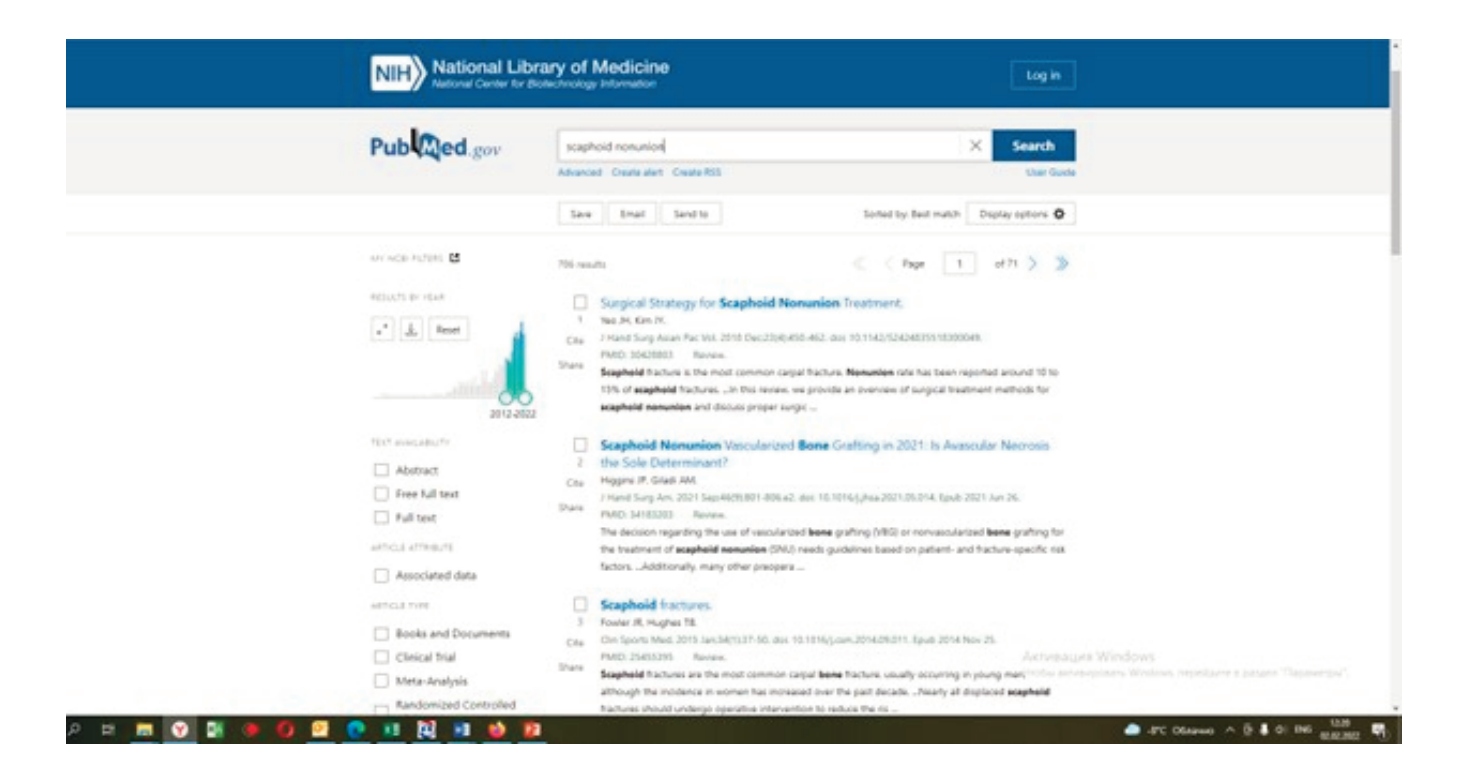
Проблема несращения ладьевидной кости кисти после ее перелома, а также после хирургического лечения по поводу ее повреждения остается актуальной. При анализе литературных данных за 10 лет открытого медицинского ресурса PubMed, в ответ на запрос в поисковой строке «Scaphoid nonunion», нами было получено 706 публикаций по данной проблеме (рис.1). Запросы по теме «Periostal flaps» за тот же временной интервал выявил 237 публикаций (рис.2).

Несращение ладьевидной кости после перелома происходит в 5-25% случаев после консервативного лечения. Некоторые исследования показывают, что почти 25% формирования ложных суставов ладьевидной кости возникают после хирургического лечения [1,2].

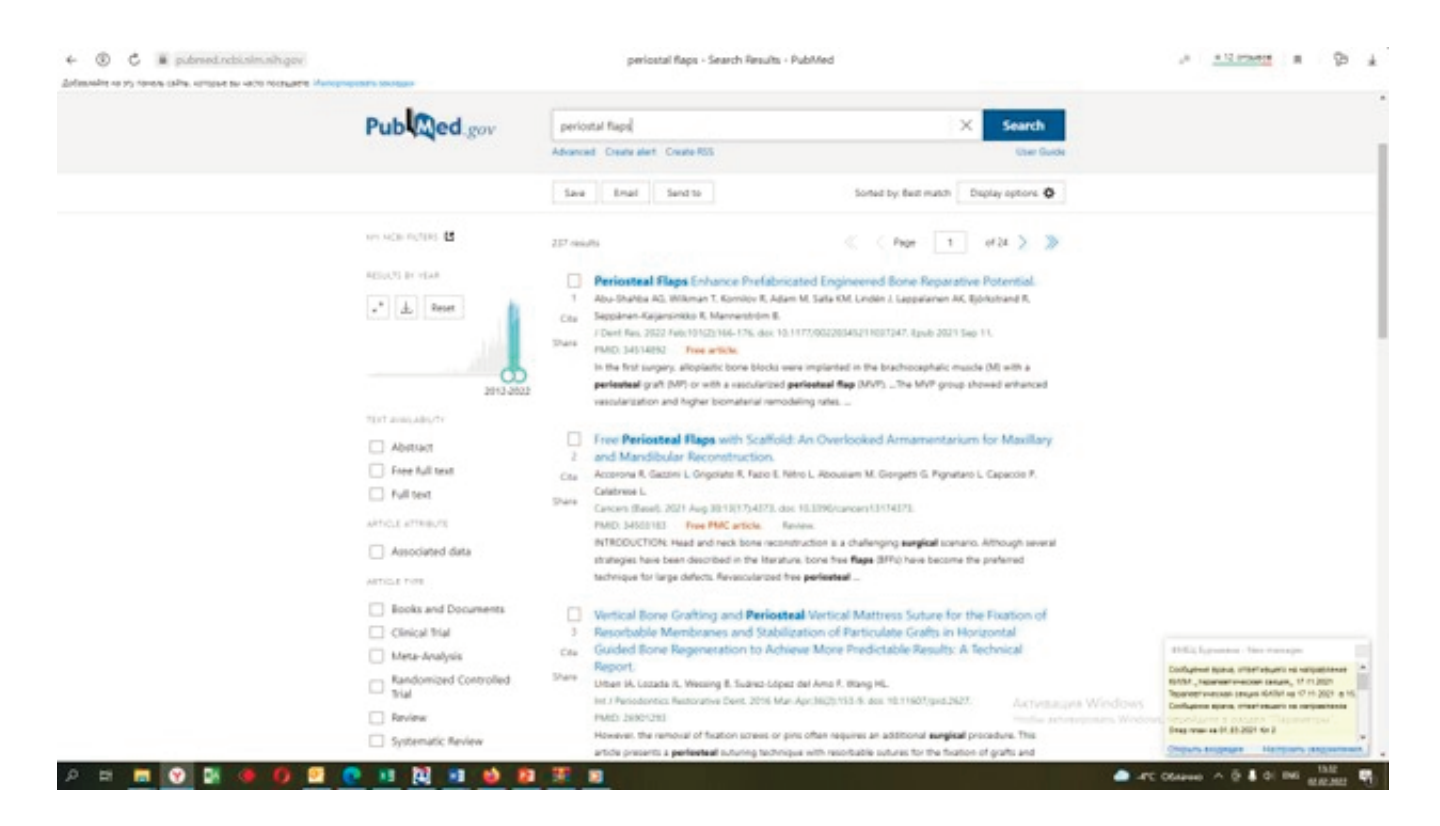
К факторам риска формирования ложного сустава ладьевидной кости относят пожилой возраст пациентов, наличие вредных привычек (курение), несвоевременность постановки диагноза и затруднения выявления переломов ладьевидной кости при первичной рентгенологической диагностике, переломы ладьевидной кости в области ее проксимального полюса, а также ее вертикально - косые переломы и смещение костных фрагментов более 1 мм [3,4].

Существенное значение в формировании ложных суставов ладьевидной кости имеет повреждение в результате перелома дорсальной запястной ветви — основного источника кровоснабжения от лучевой артерии. Незначительное кровоснабжение ладьевидная кость получает из поверхностной ладонной дуги (ветвь лучевой артерии), которая входит в дистальный бугорок и снабжает 20% ладьевидной кости (рис.3).

Идея использования надкостничных лоскутов не нова, заимствована у специалистов в области челюстно-лицевой хирургии [5]. Применение надкостничных лоскутов при лечении ложных суставов ладьевидной кости также встречается в публикациях ряда авторов [1,2,4]. Почему же так привлекательны надкостничные лоскуты? Надкостница имеет ряд



Puc 1. Актуальность проблемы ложных суставов ладьевидной кости Fig. 1. The relevance of the problem of scaphoid nonunion

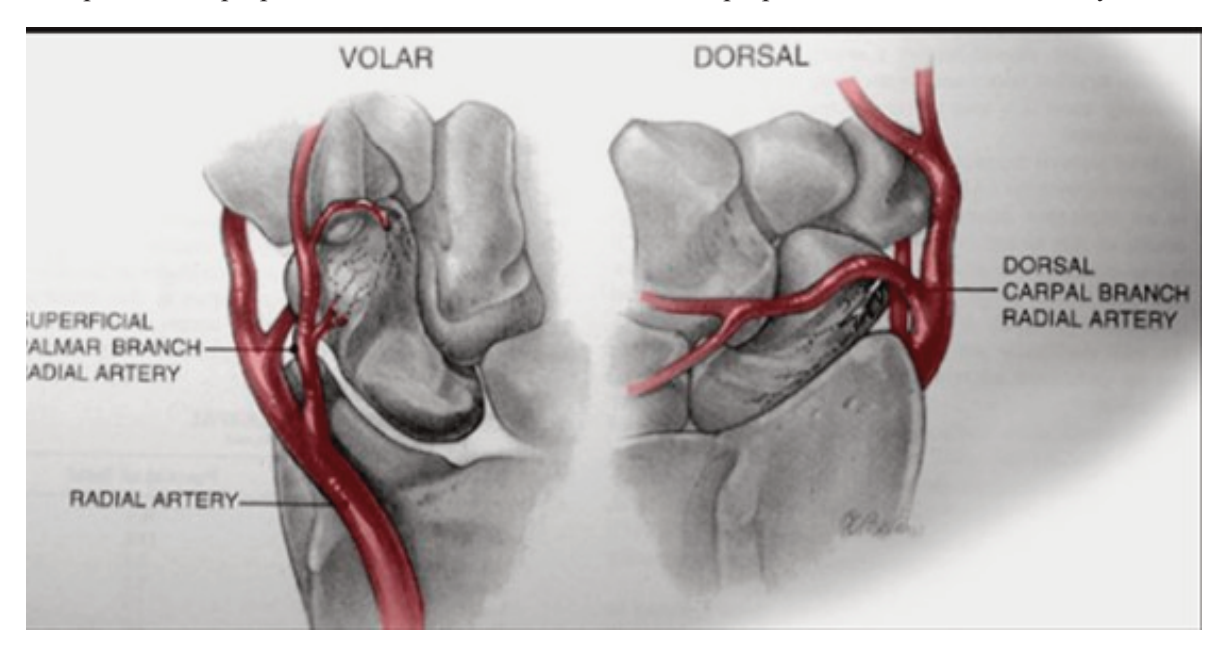


Puc. 2. Актуальность запросов «Периостальные лоскуты» Fig.2. Relevance of the "Periosteal flaps" queries

особенностей, поддерживающих регенераторные способности кости. Включает в себя три слоя: 1) наружный волокнистый слой, 2) внутренний волокнистый слой, 3) слой остеобластов. Содержит артерио-венозную микрососудистую периостальную сеть, а также ветви периостальных нервов и лимфатических сосудов (рис.4).

G. Pierer с соавт. была изучена вариантная анатомия метакарпальных артерий и их взаимоотношения

с пястными костями на примере II метакарпальной артерии (IIMC) (рис.5). Автор выделяет 5 типов IIMC: а) лучевой метакарпальный тип (с множеством веточек, отходящих от метакарпальной артерии к пястной кости с лучевой стороны; b) локтевой метакарпальный тип (по аналогии с лучевым, имеет множество ответвлений с локтевой стороны пястной кости); c) дистальный метакарпальный тип (длинный ствол артерии с началом ветвления в субкапитальной



Puc. 3. Особенности кровоснабжения ладьевидной кости *Fig. 3.* Features of blood supply to the scaphoid

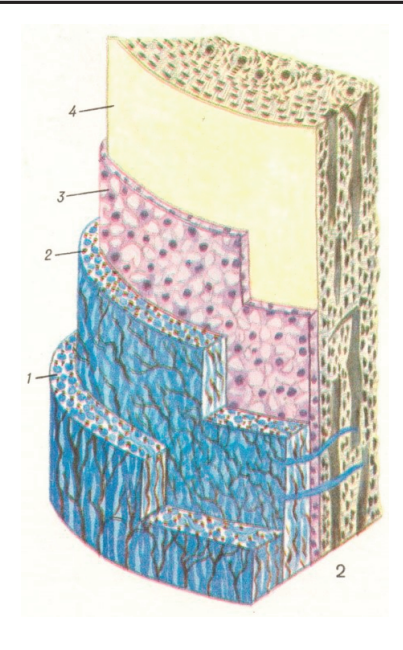


Схема структуры надкостницы
1 — наружный волокнистый слой;
2 — внутренний волокнистый слой а — слой остеобластов
4 — кость

Puc 4. Схема структуры надкостницы *Fig. 4*. Diagram of the periosteum structure

области пястной кости); d) доминантный лучевой тип (ветвящаяся метакарпальная артерия с лучевой поверхности имеет дублирующий магистральный ствол); e) добавочный лучевой тип (основной и дублирующий магистральные стволы метакарпальной артерии с дистальным типом ветвления основного ствола); f) дорзально-лучевой тип метакарпальной артерии (лучевой метакарпальный тип с отдельной дополнительной тыльной ветвью) [6,7].

В зависимости от метакарпального типа может быть спланировано применение надкостничного лоскута.

Материалы и методы

Проанализированы результаты лечения 30 больных за 2018-2021гг., оперированных по поводу ложных суставов ладьевидной кости кисти.

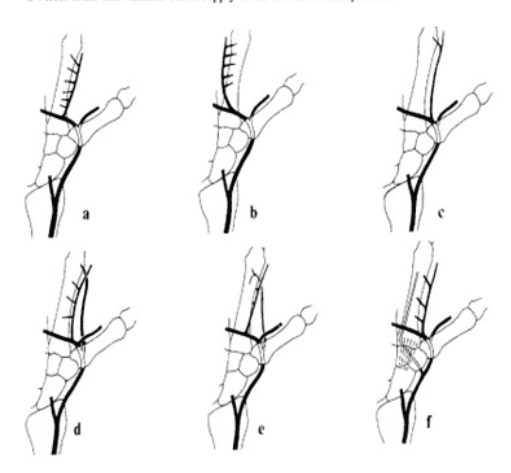
Причины развития ложных суставов ладьевидной кости указаны в табл. 1.

Все больные (30 человек) были разделены на 2 группы, равнозначные по количеству больных (15 в каждой), полу (в обеих группах исследуемыми

Таблица 1 Причины развития ложных суставов ладьевидной кости Causes of development of scaphoid nonunion

N п/п	Причины развития ложных суставов ладьевидной кости	Количество пациентов, абс	Количество пациентов, %
1	консервативное лечение переломов	7	25
2	недиагностированные переломы	2	7,14
3	несращение после хирургического лечения	13	39,28
4	ранняя физическая нагрузка после операции	8	28,58

G Pierer et al: The vascular blood supply of the second metacarpal bone



Figs. 2 a-f
Schematic representation of variations of the vascular supply of MC II, right hand, palmar view
a metacarpal-type radial b metacarpal-type ulnar c metacarpal-type distal d radialis-type dominant c radialis-type accessory f radialis-type dorsal; explanations in text

Puc 5. Вариантная анатомия II метакарпальной артерии кисти (MCII) по G.Pierer

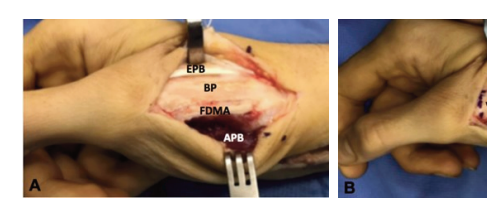
Fig. 5. Variant anatomy of the II metacarpal artery of the hand (MCII) according to G.Pierer

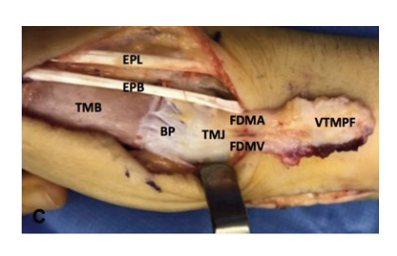
были мужчины -11 и женщины -4) и возрасту ($31\pm2,5$ г). У пациентов отсутствовали сопутствующие заболевания, связанные с нарушением периферического кровообращения. Исследуемые не обладали вредными привычками в виде курения.

У пациентов контрольной группы методом выбора хирургического лечения ложных суставов ладьевидной кости была свободная костная аутопластика трансплантатом из гребня подвздошной кости со смежной с поврежденной рукой стороны таза. Методом фиксации костных фрагментов выбран погружной остеосинтез безголовчатым винтом.

У пациентов основной (экспериментальной) группы методом выбора хирургического лечения ложных суставов ладьевидной кости была свободная костная аутопластика трансплантатом из гребня подвздошной кости со смежной с поврежденной рукой стороны таза. Методом фиксации костных фрагментов выбран погружной остеосинтез безголовчатым винтом. Выполненная пластика была дополнена несвободной пластикой надкостничным лоскутом на метакарпальной артерии (IIMC).

При локализации ложного сустава ладьевидной кости в средней трети, при использовании ладонного доступа, надкостничный лоскут выкраивали на первой метакарпальной артерии (рис.6 (a-d)). При локализации ложного сустава ближе к проксимальному полюсу, при использовании тыльного доступа, применяли надкостничный лоскут на второй метакарпальной артерии, со второй пястной кости (рис.7-9). Фиксацию надкостничного лоскута производили над перемещенным аутотрансплантатом из гребня подвадошной кости после фиксации его между костными фрагментами ладьевидной кости безголовчатым винтом путем подшивания к краю хряща ладьевидной кости отдельными узловыми швами (рис. 10-12).

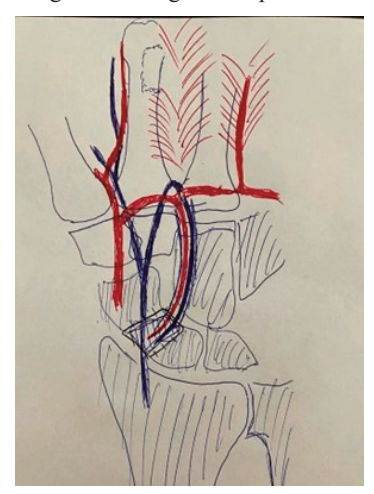


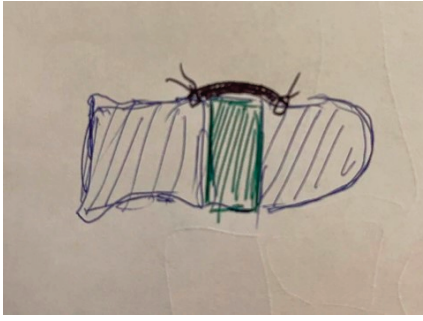


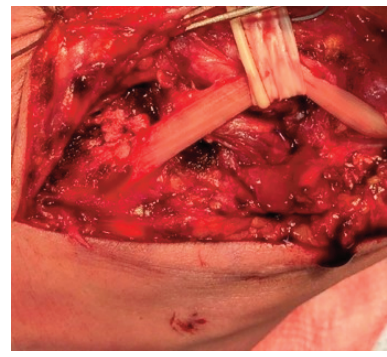


 $\mathit{Puc}\ 6$ (a-d). Этапы выкраивания надкостничного лоскута на MCI

Fig. 6 (a-d). The stages of cutting out the periosteal flap on MSI



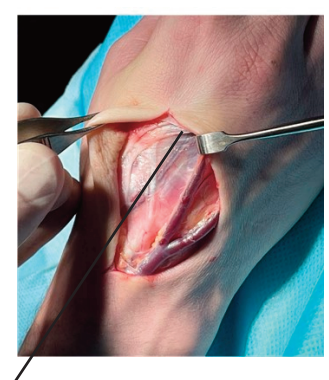




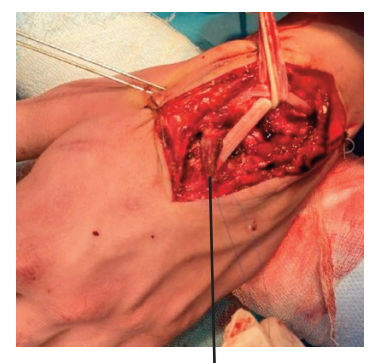
 $Puc\ 10-12$. Схема фиксации надкостничного лоскута к фрагментам ладьевидной кости

Fig. 10-12. Diagram of fixation of the periosteal flap to the fragments of the scaphoid





Тыльные метакарпальные артерия и вена



Надкостничный лоскут

Puc 7–9. Надкостничный лоскут на II метакарпальной артерии Fig. 7–9. Periosteal flap on the II metacarpal artery

Контроль проходимости метакарпальной артерии ножки лоскута производили в раннем послеоперационном периоде (первые 3-5 суток после операции) при помощи фетального доплера EDAN SD3 с датчиком 8 МГц (рис.13,14).

Критерием оценки была консолидация ладьевидной кости. В контрольной группе консолидация была достигнута в 66,7% случаев (10 пациентов), в экспериментальной группе — в 86,6% случаев (у 13 пациентов) (табл.2). Подтверждение консолидации осуществляли методом рентгенологического исследования (рис. 15) и компьютерной томографией с режимом 3D-моделирования (рис. 16).

При оценке степени выраженности боли по шкале ВАШ в экспериментальной группе степень ее выраженности была выше, что можно объяснить более обширным доступом с целью забора надкостничного лоскута (рис. 17).

Функциональный результат по шкале DASH на всем протяжении послеоперационного периода был сопоставим в обеих группах исследования (рис. 18).

Таблица 2
Результаты исследования
The results of the study

Критерий оценки	Экспериментальная группа (n=15)	Контрольная группа (n=15)
Консолидация ладьевидной кости	86,6% (13 пациентов)	66,7% (10 пациентов)

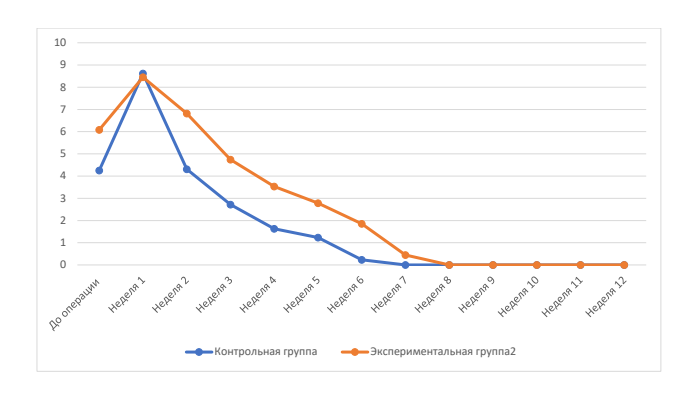




Puc 13–14. Контроль кровотока в сосудистой ножке после операции Фетальным Доплером EDAN SD3 с датчиком 8 МГц *Fig. 13–14.* Monitoring of blood flow in the vascular pedicle after surgery with an EDAN SD3 Fetal Doppler with an 8 MHz sensor



 $Puc\ 15.$ Контроль консолидации ладьевидной кости $Fig.\ 15.$ Control of scaphoid consolidation



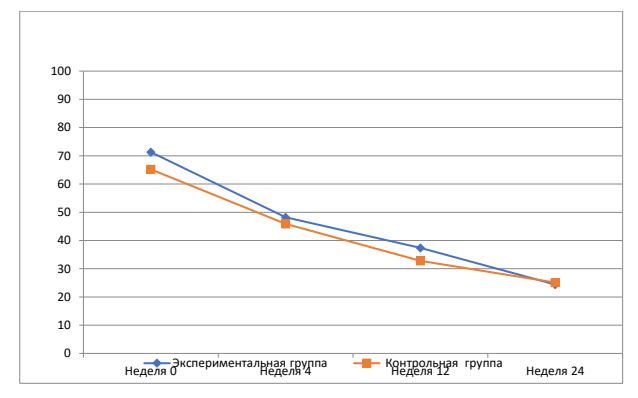
 $Puc\ 17$. Динамика боли в баллах по визуально-аналоговой шкале (ВАШ)

Fig.17. Dynamics of pain in scores on a visual-analog scale (VAS)



Puc 16. Контроль консолидации ладьевидной кости при помощи КТ

Fig. 16. Control of scaphoid consolidation using CT



Puc 18. Результаты субъективной оценки состояния по шкале DASH у пациентов обеих групп на разных сроках после хирургического лечения

рургического лечения Fig. 18. Results of a subjective assessment of the condition on the DASH scale in patients of both groups at different periods after surgical treatment

В клиническом примере представлен функциональный результат лечения пациентки П, 28 лет (травма руки получена в результате занятий спортом (художественная гимнастика). В результате несвоевременного обращения за медицинской помощью (спустя 3 месяца после падения на руку по причине сохраняющейся при нагрузке боли в области лучезапястного сустава) выявлен ложный сустав ладьевидной кости правой кисти. Хирургическое лечение в объеме малоинвазивного остеосинтеза безголовчатым винтом не привел к консолидации ладьевидной кости. Спустя 8 месяцев после травмы выполнен остеосинтез ладьевидной кости с применением предложенного костно-пластического хирургического вмешательства. Достигнуто восстановление функции кисти с возвращением пациентки П. к профессиональной деятельности (рис.19-24).

Обсуждение

Учитывая малую выборку больных, участвовавших в проведенной работе, исследование имеет умеренную достоверность. Однако, полученные данные позволяют надеяться на эффективность предлагаемого метода хирургического лечения, применяемого у пациентов основной группы исследования.

Выводы

- 1. Выборка пациентов не достаточна для вынесения достоверного заключения об эффективности предлагаемого метода.
- 2. Метод пластики ложных суставов ладьевидной кости имеет ряд недостатков, отражающихся в результатах оценки по шкале ВАШ и опросника DASH в раннем послеоперационном периоде (не отражаются на полученных конечных результатах).
- 3. Применение надкостничных лоскутов может быть эффективным при ложных суставах в области проксимального полюса ладьевидной кости
- 4. Полученные рентгенологические и функциональные результаты позволяют надеяться на эффективность предлагаемого метода хирургического лечения.













Puc 19-24. Функциональный результат лечения пациентки П Fig. 19-24. Functional result of treatment of patient P

СПИСОК ИСТОЧНИКОВ/REFERENCES

- Barrera-Ochoa S, Mendez-Sanchez G, Mir-Bullo X, Knörr J, Bertelli JA, Soldado F. Vascularized Thumb Metacarpal Periosteal Flap for Scaphoid Nonunion in Adolescents: A Prospective Cohort Study of 12 Patients. J Hand Surg Am. 2019 Jun;44(6):521.e1-521.e11. doi: 10.1016/j.jhsa.2018.08.019. Epub 2018 Oct 18. PMID: 30344021.
- Barrera-Ochoa S, Mendez-Sanchez G, Rodriguez-Baeza A, Knörr J, Bertelli JA, Soldado F. Vascularized thumb metacarpal periosteal pedicled flap for scaphoid nonunion: An anatomical study and pediatric case report. Microsurgery. 2019 Jan;39(1):62-69. doi: 10.1002/micr.30233. Epub 2017 Sep 14. PMID: 28906587.
- Chen AC, Lin SS, Chan YS, Lee MS, Ueng SW. Osteogenesis of prefabricated vascularized periosteal graft in rabbits. J Trauma. 2009 Jul;67(1):165-7. doi: 10.1097/TA.0b013e3181881338. PMID: 19590329.
- Doi K, Hattori Y. The use of free vascularized corticoperiosteal grafts from the femur in the treatment of scaphoid non-union. Orthop Clin

- North Am. 2007 Jan;38(1):87-94, vi-vii. doi: 10.1016/j.ocl.2006. 10.004. PMID: 17145297.
- Saint-Surin I and all. Combined mentalis weakening and periosteal flaps in mandibular anterior alveolar corticotomy-assisted orthodontics with bone grafting.
- J Stomatol Oral Maxillofac Surg. 2021 Jun;122(3):311-314. doi: 10.1016/j.jormas.2020.05.006. Epub 2020
- Huang RL, Tremp M, Ho CK, Sun Y, Liu K, Li Q. Prefabrication of a functional bone graft with a pedicled periosteal flap as an in vivo bioreactor. Sci Rep. 2017 Dec 21;7(1):18038. doi: 10.1038/s41598-017-17452-5. PMID: 29269864; PMCID: PMC5740121.